

FLUMilog

Interface graphique v.5.4.0.5

Outil de calculV5.4

Flux Thermiques Détermination des distances d'effets

| | |
|--|---|
| Utilisateur : | ARCOE |
| Société : | GREENRECUP |
| Nom du Projet : | guymoquettri4m_1 |
| Cellule : | chainetri |
| Commentaire : | |
| Création du fichier de données d'entrée : | 06/01/2021 à 15:15:13 avec l'interface graphique v. 5.4.0.5 |
| Date de création du fichier de résultats : | 6/1/21 |

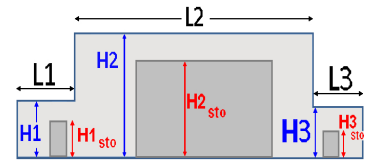
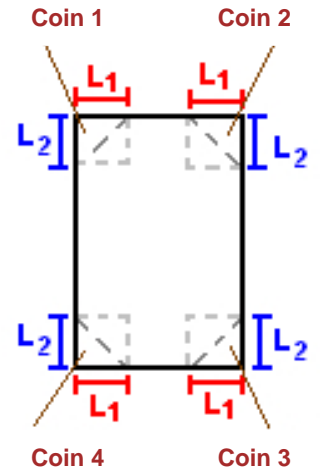
I. DONNEES D'ENTREE :

Donnée Cible

Hauteur de la cible : **1,8 m**

Géométrie Cellule1

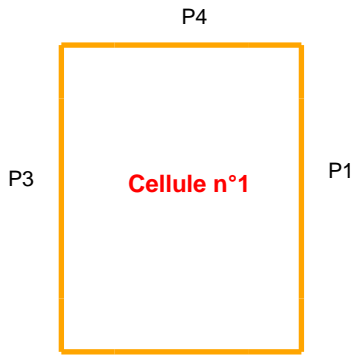
| Nom de la Cellule :Cellule n°1 | | | | |
|------------------------------------|--------------------|-------------|------------|--|
| Longueur maximum de la cellule (m) | | 36,3 | | |
| Largeur maximum de la cellule (m) | | 48,3 | | |
| Hauteur maximum de la cellule (m) | | 8,0 | | |
| Coin 1 | non tronqué | L1 (m) | 0,0 | |
| | | L2 (m) | 0,0 | |
| Coin 2 | non tronqué | L1 (m) | 0,0 | |
| | | L2 (m) | 0,0 | |
| Coin 3 | non tronqué | L1 (m) | 0,0 | |
| | | L2 (m) | 0,0 | |
| Coin 4 | non tronqué | L1 (m) | 0,0 | |
| | | L2 (m) | 0,0 | |
| Hauteur complexe | | | | |
| | 1 | 2 | 3 | |
| L (m) | 0,0 | 0,0 | 0,0 | |
| H (m) | 0,0 | 0,0 | 0,0 | |
| H sto (m) | 0,0 | 0,0 | 0,0 | |



Toiture

| | |
|-------------------------------------|--------------------------------|
| Résistance au feu des poutres (min) | 15 |
| Résistance au feu des pannes (min) | 15 |
| Matériaux constituant la couverture | metallique multicouches |
| Nombre d'exutoires | 6 |
| Longueur des exutoires (m) | 3,0 |
| Largeur des exutoires (m) | 2,0 |

Parois de la cellule : Cellule n°1



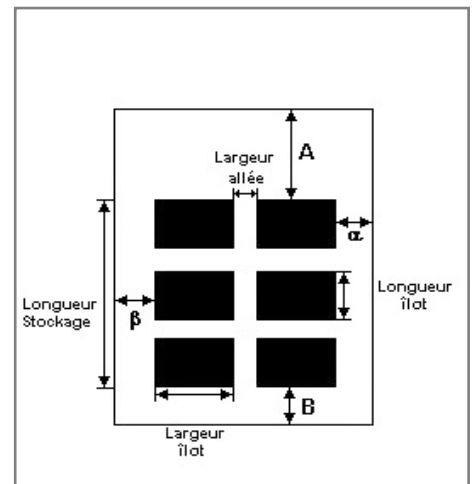
| | Paroi P1 | Paroi P2 | Paroi P3 | Paroi P4 |
|--|--------------------------------|--------------------------------|------------------------------|--------------------------------|
| Composantes de la Paroi | Multicomposante | Multicomposante | Monocomposante | Multicomposante |
| Structure Support | Poteau Acier | Poteau Acier | Poteau Acier | Poteau Acier |
| Nombre de Portes de quais | 0 | 0 | 1 | 0 |
| Largeur des portes (m) | 0,0 | 0,0 | 24,2 | 0,0 |
| Hauteur des portes (m) | 0,0 | 4,0 | 8,0 | 0,0 |
| | <i>Partie en haut à gauche</i> | <i>Partie en haut à gauche</i> | <i>Un seul type de paroi</i> | <i>Partie en haut à gauche</i> |
| Matériau | bardage double peau | bardage double peau | bardage double peau | bardage simple peau |
| R(i) : Résistance Structure(min) | 15 | 15 | 15 | 15 |
| E(i) : Etanchéité aux gaz (min) | 15 | 15 | 15 | 15 |
| I(i) : Critère d'isolation de paroi (min) | 15 | 15 | 15 | 15 |
| Y(i) : Résistance des Fixations (min) | 15 | 15 | 15 | 15 |
| Largeur (m) | 18,0 | 24,3 | | 24,3 |
| Hauteur (m) | 4,0 | 4,0 | | 4,0 |
| | <i>Partie en haut à droite</i> | <i>Partie en haut à droite</i> | | <i>Partie en haut à droite</i> |
| Matériau | bardage double peau | bardage double peau | | bardage simple peau |
| R(i) : Résistance Structure(min) | 15 | 15 | | 15 |
| E(i) : Etanchéité aux gaz (min) | 15 | 15 | | 15 |
| I(i) : Critère d'isolation de paroi (min) | 15 | 15 | | 15 |
| Y(i) : Résistance des Fixations (min) | 15 | 15 | | 15 |
| Largeur (m) | 18,3 | 24,0 | | 24,0 |
| Hauteur (m) | 4,0 | 4,0 | | 4,0 |
| | <i>Partie en bas à gauche</i> | <i>Partie en bas à gauche</i> | | <i>Partie en bas à gauche</i> |
| Matériau | Parpaings/Briques | Parpaings/Briques | | Parpaings/Briques |
| R(i) : Résistance Structure(min) | 15 | 15 | | 15 |
| E(i) : Etanchéité aux gaz (min) | 120 | 120 | | 120 |
| I(i) : Critère d'isolation de paroi (min) | 120 | 120 | | 120 |
| Y(i) : Résistance des Fixations (min) | 120 | 120 | | 120 |
| Largeur (m) | 18,0 | 24,3 | | 24,3 |
| Hauteur (m) | 4,0 | 4,0 | | 4,0 |
| | <i>Partie en bas à droite</i> | <i>Partie en bas à droite</i> | | <i>Partie en bas à droite</i> |
| Matériau | Parpaings/Briques | bardage simple peau | | Parpaings/Briques |
| R(i) : Résistance Structure(min) | 15 | 15 | | 15 |
| E(i) : Etanchéité aux gaz (min) | 120 | 120 | | 120 |
| I(i) : Critère d'isolation de paroi (min) | 120 | 120 | | 120 |
| Y(i) : Résistance des Fixations (min) | 120 | 120 | | 120 |
| Largeur (m) | 18,3 | 24,0 | | 24,0 |
| Hauteur (m) | 4,0 | 4,0 | | 4,0 |

Stockage de la cellule : Cellule n°1

Mode de stockage **Masse**

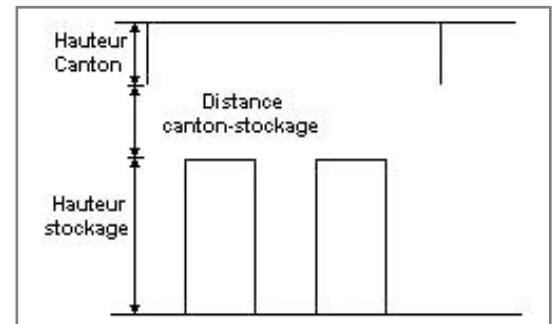
Dimensions

Longueur de préparation A **2,0** m
 Longueur de préparation B **2,3** m
 Déport latéral a **2,0** m
 Déport latéral b **2,3** m
 Hauteur du canton **0,0** m



Stockage en masse

Nombre d'îlots dans le sens de la longueur **1**
 Nombre d'îlots dans le sens de la largeur **1**
 Largeur des îlots **44,0** m
 Longueur des îlots **32,0** m
 Hauteur des îlots **2,0** m
 Largeur des allées entre îlots **0,0** m



Palette type de la cellule Cellule n°1

Dimensions Palette

Longueur de la palette : **1,2** m
 Largeur de la palette : **0,8** m
 Hauteur de la palette : **1,0** m
 Volume de la palette : **1,0** m³

Nom de la palette : **papiercartonplastique** Poids total de la palette : **470,0** kg

Composition de la Palette (Masse en kg)

| | | | | | | |
|--------------|---------------|--------------|------------|------------|------------|------------|
| Bois | Carton | PVC | NC | NC | NC | NC |
| 115,0 | 240,0 | 115,0 | 0,0 | 0,0 | 0,0 | 0,0 |

| | | | | | | |
|------------|------------|------------|------------|------------|------------|------------|
| NC |
| 0,0 |

| | | | |
|------------|------------|------------|------------|
| NC | NC | NC | NC |
| 0,0 | 0,0 | 0,0 | 0,0 |

Données supplémentaires

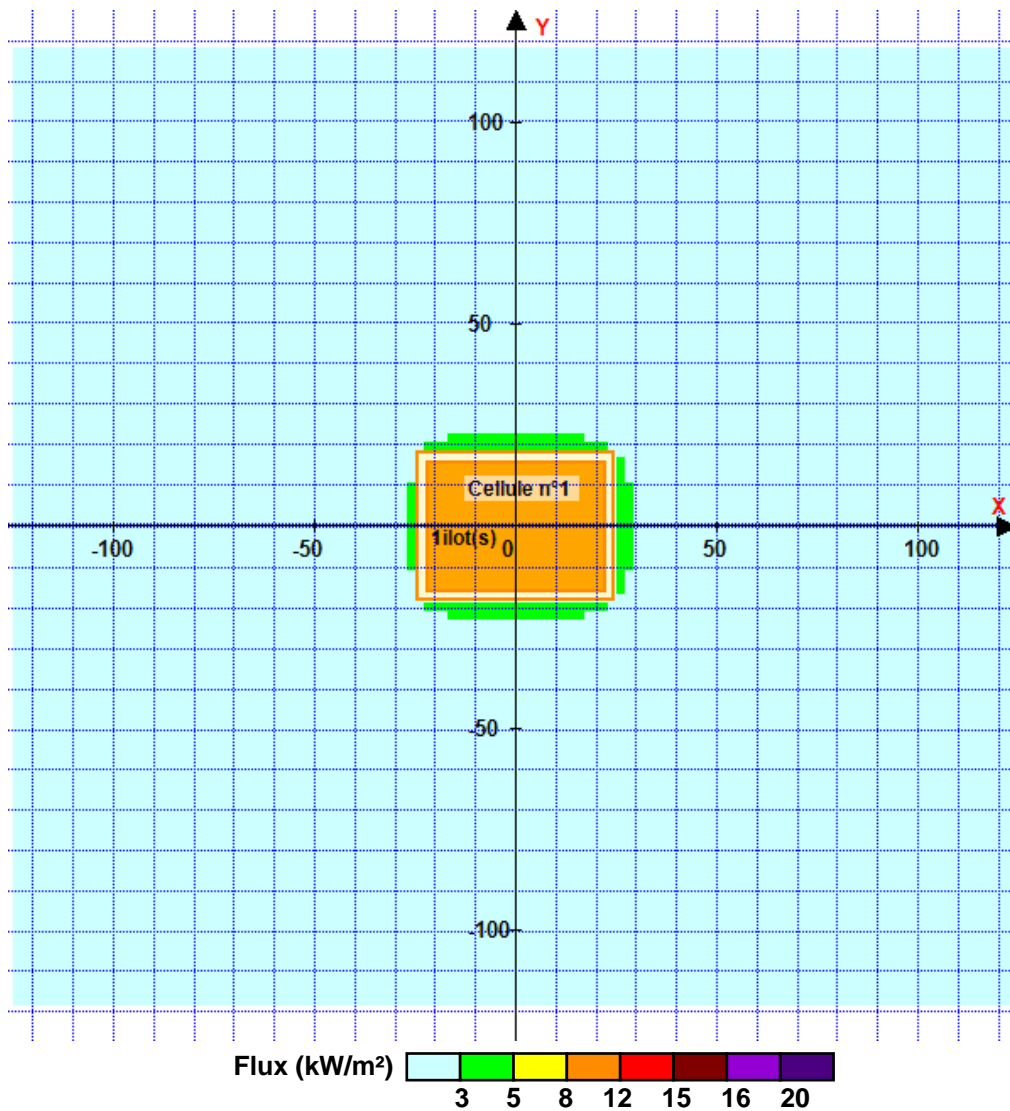
Durée de combustion de la palette : **54,3** min
 Puissance dégagée par la palette : **502,6** kW

II. RESULTATS :

Départ de l'incendie dans la cellule : **Cellule n°1**

Durée de l'incendie dans la cellule : Cellule n°1 **99,0** min

Distance d'effets des flux maximum



Pour information : Dans l'environnement proche de la flamme, le transfert convectif de chaleur ne peut être négligé. Il est donc préconisé pour de faibles distances d'effets comprises entre 1 et 5 m de retenir une distance d'effets de 5 m et pour celles comprises entre 6 m et 10 m de retenir 10 m.